

DOI:10.16356/j.1005-2615.2025.01.020

机载软件层次化需求的形式化建模与分析

王康星¹, 胡 军^{1,2}, 王立松^{1,2}, 丁 鼎¹, 董亚炯¹, 戴嘉磊¹

(1. 南京航空航天大学计算机科学与技术学院, 南京 211106; 2. 软件新技术与产业化协同创新中心, 南京 210007)

摘要: 越来越复杂的多层级功能需求给高安全机载软件的设计开发带来了重要挑战。本文给出了一个面向工程应用领域具有层次化语义特征的软件需求形式化建模与分析方法。首先, 设计了一个层次化的形式化需求模型。层次化变量关系模型(Hierarchical variable relation model, HVRM)引入工程领域中典型的功能模块属性以及端口等概念来表达系统功能的层次化特征语义, 同时也具备原有变量关系模型(Variable relation model, VRM)中基于表格形式的形式化语义, 可表示包括条件型、事件型、多维度模式转换等多种类需求的语义信息。进而, 基于需求的一致性完整性要求确立了VRM一致性完整性约束簇。其次, 设计了一个将工程条目化需求建模为HVRM形式化需求模型的处理框架, 并在一个机载软件需求工具平台(Hierarchical avionics requirement tools, HART)中进行了处理功能和需求追溯功能的实现和集成。最后采用某机型自动飞行系统中飞行模式转换软件逻辑需求进行了实例需求建模和模型分析。

关键词: 计算机软件与理论; 需求工程; 形式化方法; 需求建模与分析; 飞行控制系统

中图分类号: TP311.5 **文献标志码:** A **文章编号:** 1005-2615(2025)01-0195-10

Formal Modeling and Analysis Method for Hierarchical Requirements of Airborne Software

WANG Kangxing¹, HU Jun^{1,2}, WANG Lisong^{1,2}, DING Ding¹, DONG Yajiong¹, DAI Jialei¹

(1. College of Computer Science and Technology, Nanjing University of Aeronautics & Astronautics, Nanjing 211106, China;
2. Collaborative Innovation Center of Novel Software Technology and Industry, Nanjing 210007, China)

Abstract: The increasingly complex multi-level functional requirements bring challenges to the design and development of safety-critical airborne software. A formal modeling and analysis method of software requirements with hierarchical semantic characteristics for avionics is proposed. Firstly, a hierarchical formal requirement model is constructed. Hierarchical variable relation model (HVRM) adopts the typical concepts, such as functional module attributes and ports in the engineering domain, to describe the hierarchical feature semantics of system functions, and it also has the formal semantics based on the table form in the original variable relationship model (VRM), which can represent the semantic information of various types of requirements, including conditional, event-based, and multi-dimensional modes transformation, etc. Especially, consistency and integrity constraints are established based on requirements consistency and integrity demand. Secondly, a processing framework is designed to model engineering itemized requirements into HVRM model, and the processing function and requirement traceability function are implemented and integrated in a hierarchical avionics requirement tools (HART), which is an airborne software requirement tool platform. Finally, taking an automatic flight control system as a case, the requirements of the flight mode logic function are modeled and analyzed.

基金项目: 国家自然科学基金(U2241216)。

收稿日期: 2024-07-31; **修订日期:** 2024-11-24

通信作者: 胡军, 男, 副教授, E-mail: hujun@nuaa.edu.cn。

引用格式: 王康星, 胡军, 王立松, 等. 机载软件层次化需求的形式化建模与分析[J]. 南京航空航天大学学报(自然科学版), 2025, 57(1): 195-204. WANG Kangxing, HU Jun, WANG Lisong, et al. Formal modeling and analysis method for hierarchical requirements of airborne software[J]. Journal of Nanjing University of Aeronautics & Astronautics (Natural Science Edition), 2025, 57(1): 195-204.

Key words: computer software and theory; requirement engineering; formal methods; requirement modeling and analysis; flight control system

机载软件是一类安全关键软件,要求其具有高安全性、高可靠性和高健壮性等特征^[1]。DO-178C 标准^[2]给出了机载软件研发中的重点:强调基于需求的开发过程和验证目标^[3-4],并引入了形式化方法。ARP-4754B 标准则为飞机和系统的设计和开发提供了全面的指导^[5]。尽管如此,将形式化方法与实际工程实践相结合,开发出适用于航空工程中机载软件需求的构建、分析和验证的有效方法和工具,依然是一个重大挑战^[6]。

Collins Aerospace 利用架构分析和设计语言 (Architecture analysis and design language, AADL) 进行 OpenUxAS 项目的构建与验证^[7]。文献[8]利用系统建模语言 (System modeling language, SysML) 对 EA-6B 飞机进行建模与分析^[8]。徐恒等^[9]提出基于 SysML 的自动飞行系统模式转换需求的领域建模语言 (Mode transition requirement description language, MTRDL), 是一种领域化调整的形式化建模语言。统一建模语言 (Unified modeling language, UML)^[10]、SysML^[11]、AADL^[12] 等半形式化语言需转换为形式化模型或依赖插件以支持分析与验证,存在语义不一致的风险。大韩航空采用 Simulink 开发无人机控制软件^[13]。Ansys 则利用 Python 和高安全应用开发环境 (Safety critical application development environment, SCADE) 对座舱显示系统进行自动化测试^[14]。尽管 SCADE 和 Simulink 具有数学模型支持,但细节过多,更倾向于详细设计。

变量关系模型 (Variable relation model, VRM) 模型及其航空需求工具平台 (Avionics requirement toolset, ART) 是在机载软件领域的长期工程实践中完善的。包含 1 个从自然语言需求到 VRM 模型的建模框架^[15]、1 个基于 VRM 模型和 SysML 的需

求仿真方法^[16]、1 套基于 VRM 的多范式分析算法^[17]、1 种基于 Simulink 模型构建 VRM 模型的方法^[18]。与同类工作相比,ART 通过采用领域共享的概念库和规范化的需求模板,有效降低了建模的工作量。此外,VRM 模型既是建模的基础,也可直接用于分析,消除了模型转换过程中的语义丢失风险。尽管如此,VRM 模型在处理大规模需求实例时仍显示出一定的局限性。大规模的系统功能需求中通常包含系统的层级嵌套结构,此结构特征被本文定义为层次化。现有 VRM 模型理论中缺乏相关语义和分析方法,无法识别需求中有关层次结构的设计错误。这些错误最终会降低软件产品的可靠性和安全性。

本文的主要贡献是实现了 VRM 模型理论的层次化扩展,增强了 VRM 模型的表达能力和 ART 工具的模型分析能力,并提供了大规模的自然语言需求形式化建模工作的有效范例。具体而言,本文工作面向源自真实世界的飞行导引控制系统的大规模需求实例展开。在理论层面上,引入工程典型的功能模块属性以及端口来表达系统功能的层次化,增加端口一致性完整性约束。在工具层面上,基于模块重新设计建模和分析框架,重新编码实现相关算法。

1 背景知识

飞行控制系统 (Flight control system, FCS) 中的自动飞行系统 (Automatic flight control system, AFCS) 是确保飞机依据预设程序或环境条件自动选择并执行飞行模式的关键系统,对于大型商用飞机至关重要^[19]。该系统逻辑结构如图 1 所示,涵盖飞行导引控制子系统 (Flight guidance control sys-

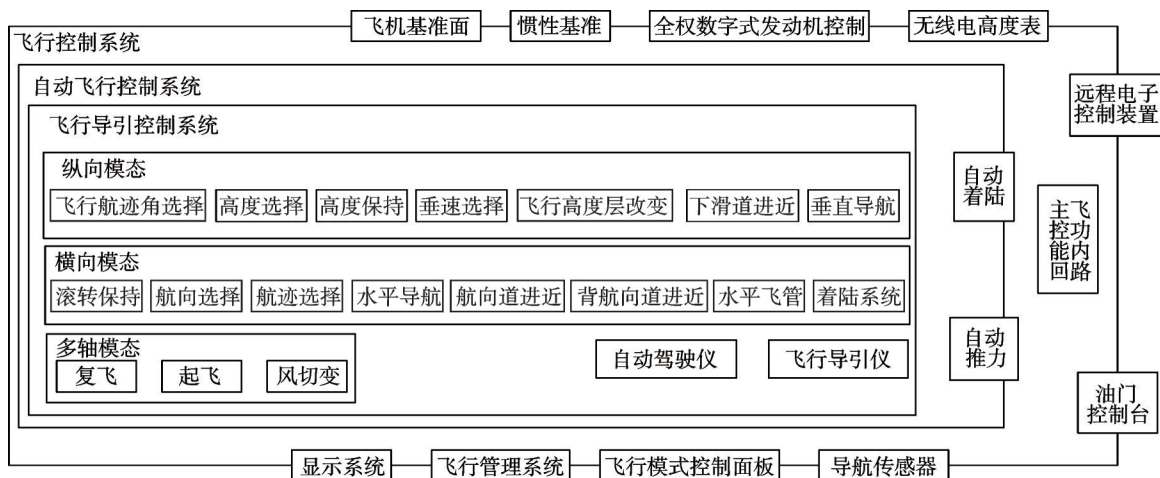


图1 自动飞行控制系统的顶层视图

Fig.1 Top level view of AFCS

tem, FGCS)、自动推力子系统和自动着陆子系统。AFCS与飞行模式控制面板、飞行管理系统和全权数字式发动机控制系统等外部子系统交互。图 1 直观地展示了系统与子系统之间的包含和生成关系,这不仅体现了本文所探讨的层次化特征,也是工程实践中系统层次划分的关键参考。

飞行导引控制系统包含自动驾驶仪和飞行导引仪等设备,在逻辑上可划分为模态控制逻辑和飞行控制律两大子系统。模态控制逻辑是自动飞

行控制系统的重要功能组成部分,通常以机载关键软件的形式来承载^[20]。FGCS的飞行模式作为自动飞行系统的重要组成部分,是一个复杂且关键的研究问题,并且具有明显的功能层次特征。本文将基于FGCS的模态控制逻辑系统的功能需求实例进行研究。本文实例中的机型提供了7种纵向模态、6种横向模态和3种多轴模态(图2)。其中飞管垂直导航模态和滚转保持模态又包含各自的子模态。

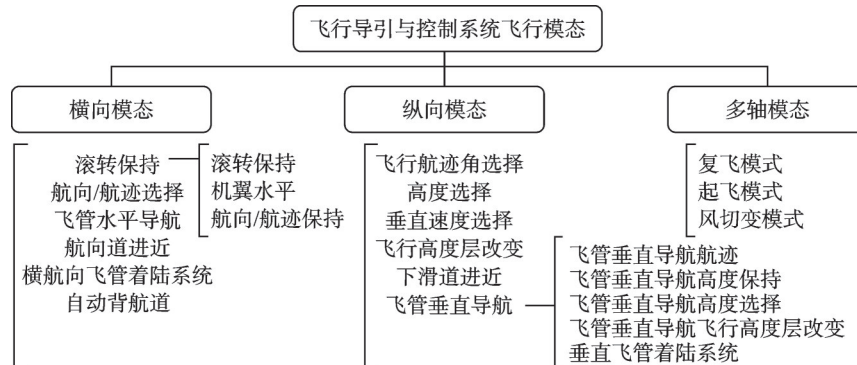


图2 飞行模态总览

Fig.2 Overview of flight modes

2 变量关系模型

层次化变量关系模型(Hierarchical variable relation model, HVRM)是一种专门针对航空软件领域调整的需求模型,源自四变量模型^[21]。它整合了表格化表示和形式化语义,便于需求的明确表达。后续章节将借助文献[17,22-23]探讨HVRM模型的详细特性。

2.1 变量关系模型定义

条件和事件构成了系统行为建模的基础。条

件 c 限制了变量取值。原子条件 c^* 是条件的最小单元,如表达式 $(a = b) \wedge (a > c)$ 中的 $a = b$ 。事件 e 约束变量在相邻时间点的取值,子事件 e^* ,通常采用 $EVENT(S)GUARD(D)$ 形式,其中 S 和 D 均为条件。 $EVENT(S)$ 指明触发事件的动作。 $GUARD(D)$ 是事件触发的先决条件。表 1 详细说明了这些谓词符号的语义。 $_S$ 和 $_D$ 分别表示前置状态要满足 S 和 D 。

表 1 子事件谓词语义

Table 1 Sub-event predicate semantics

| 谓词 | 谓词语义 | 谓词 | 谓词语义 | |
|-------|------|--|-------|---------------|
| EVENT | @T | $(\neg _S) \wedge S$ | WHEN | $_D$ |
| | @F | $_S \wedge (\neg S)$ | WHILE | D |
| | @C | $((\neg _S) \wedge S) \vee (_S \wedge (\neg S))$ | WHERE | $_D \wedge D$ |
| | — | True | — | True |

HVRM 模型被定义为 $\{V, T, MC, MT, C, E, IP, OP\}$ 。领域元素集 V 由 4 个子集构成:常量集 CV 、输入变量集 IV 、中间变量集 TV 和输出变量集 OV 。在不要求严格区分各个变量类型时,可以使用变量标识符 v 来表示变量 iv 、 tv 或 ov 。这里讨论的输入输出是指系统级别的,与后续提到的模块级输入输出不同。模块级的输入输出分别用输入参数和输出结果来明确表述。 T 表示领域数据类型的集合,其中的每一个领域数据类型 $type$ 都是值的非空集合。 MC 表示模式集 mc 的集合。 MC 集合中的

任意一个模式集 mc ,都被定义为 (M, SM, m^*) 。 m^* 表示当前模式集的父层级模式。 M 构成源自需求中定义的 1 组工作模式。 SM 则定义了这组工作模式之间如何进行切换。其中模式转换表的 1 行 $sm = \langle m', e, m \rangle$, m' 为源模式, m 为目标模式。

表 2 给出了 1 个 EICAS 的模式转换表的实例,模式集 $mcDeclustered$ 包含模式 On (激活)、 Off (关闭),显示了 EICAS 的布局方式变化情况。模式转换依赖于 3 个布尔类型的中间变量。

集合 MT 表示模块集,其中每个模块 mt 为系

表 2 mcDecluttered 的模式转换表

| 源模式 | 模式转换事件 | 目标模式 |
|-----|--|------|
| | @T((ipLandingGearDecluttered = True) | |
| Off | $\wedge(\text{ipFlapDecluttered} = \text{True})$ $\wedge(\text{ipSlatDecluttered} = \text{True})$ | On |

统层次结构的抽象,由端口 port 和父模块 mt^* 定义。模块定义不包含具体行为,而是用于声明系统结构。每个模块都有输入和输出端口,通过这些端口与系统的其他元素交互。父模块保留了层次结构的追溯路径。

条件表集合 C 由条件 ct 组成,每个条件由变量 v 和条件集合 F_C 定义。条件集合 F_C 包括一系列条件行 cr ,每行定义了特定模式 m 下,满足条件 c 后的变量赋值 a 。事件表集合 E 由事件 et 组成,每个事件由变量 v 和事件集合 F_E 定义。事件集合 F_E 包括一系列事件行 er ,每行定义了特定模式 m 下,响应事件 e 后的变量赋值 a 。条件和事件表通过变量和端口的关联性追溯至对应的模块。表 3 条件表中,SelectOrDeselect_ROLL(简称为 Select),Is_No_Nonbasic_Lateral_Mode_Active(简称为 Var_1)和 When_Nonbasic_Lateral_Mode_Activated(简称为 Var_2)均为布尔变量。模式集 Modes 包含模式 On 和 Off。

表 3 条件表实例

Table 3 Example of a condition table

| 变量 | 条件行 | | 赋值 |
|--------|------|--|-------|
| | 依赖模式 | 条件 | |
| Select | — | $(\text{Var}_1 = \text{True}) \wedge (\text{Modes} = \text{On})$ | True |
| | — | $(\text{Var}_2 = \text{True}) \vee (\text{Modes} = \text{Off})$ | False |

集合 IP 定义了端口输入关系,其中每个输入关系 ip 由变量 v 和模块 mt 组成,表示变量 v 为模块 mt 的输入参数。集合 OP 定义了端口输出关系,每个输出关系 op 由模块 mt 和变量 v 组成,表示变量 v 为模块 mt 的输出结果。

表 3 条件表关联至模块 Roll Hold,输入关系有 $\langle \text{Var}_1, \text{Roll Hold} \rangle$ 和 $\langle \text{Var}_2, \text{Roll Hold} \rangle$,输出关系有 $\langle \text{Roll Hold}, \text{Select} \rangle$ 。因此,变量 $\text{Var}_1, \text{Var}_2$ 为模块 Roll Hold 的输入参数,变量 Select 为输出结果。为保持与现有 VRM 模型的兼容性,模块的输入输出未被显式定义。

为系统化地处理变量、模式、条件、事件以及模块间的关系,定义了如下函数。 $VR(v|mc)$ 函数参数为 v 时返回变量的值域,为 mc 时返回模式集的所有模式。 $VM(v)$ 确定变量 v 所依赖的模式集。 $VF_C(v), VF_E(v)$ 获取与变量 v 关联的条件行、事件

行。 $IPV(mt), OPV(mt)$ 分别获取模块输入参数和输出结果变量集合。 $MCV(mc)$ 收集所有影响模式集 mc 中模式切换的变量。 $MF_C(mt), MF_E(mt)$ 分别获取模块关联的条件表和事件表集合。

2.2 一致性完整性约束

现有形式化分析工作多是基于特定模型、特定领域进行,目前仍未形成统一的标准或成熟工具^[9]。HVRM 基于 DO-178C 标准对需求提出的完整性、无二义性等要求,采用多种一致性、完整性约束来尽可能地保证模型的质量,以减少需求撰写和建模过程中引入的错误。完整性的要求是包含与特定系统或部件定义有关的所有内容。无二义性/一致性要求需求彼此之间不矛盾或不重复,所有相同项使用相同术语。

端口一致性是确保系统在层次化架构中避免变量重复赋值的关键约束。该原则规定,任何系统中间变量或输出变量仅能从单一模块接收赋值。端口一致性描述为

$$\forall mt_i, mt_j \in MT \\ ((mt_i \neq mt_j \wedge OPV(mt_i) \cap OPV(mt_j) = \emptyset) \vee \\ (mt_i = mt_j \wedge OPV(mt_i) = OPV(mt_j))) \quad (1)$$

端口完整性确保了在层次化设计中实体行为与其预定语义的一致性。输入变量作为来自系统外部的量,应仅在系统内部使用,而非内部赋值或输出的对象。中间变量,作为系统内部量,仅在系统内部赋值且必须使用,因此它们应既是模块输入参数也是某模块输出结果。若输入变量、中间变量未被列为输入参数,它们应参与模式的变更。输出变量在系统内部获得赋值,必须作为输出结果。由于模型专注于系统内部行为,对外部传递的约束不是考虑的重点。端口完整性可描述为

$$\left(\forall v \in IV (\forall mt \in MT (v \notin OPV(mt))) \right) \wedge \\ \left(\forall v \in TV \cup OV (\exists mt \in MT (v \in OPV(mt))) \right) \wedge \\ \left(\forall v \in IV \cup TV ((\exists mt \in MT (v \in IPV(mt))) \vee \\ (\exists mc \in MC (v \in MCV(mc)))) \right) \quad (2)$$

图 3 描述了不满足端口一致性完整性的各种情形。违反模块完整性:输入变量 1、中间变量 1(未使用),输入变量 2(用作输出结果),中间变量 2、输出变量 2(未作为输出结果)。中间变量 1、

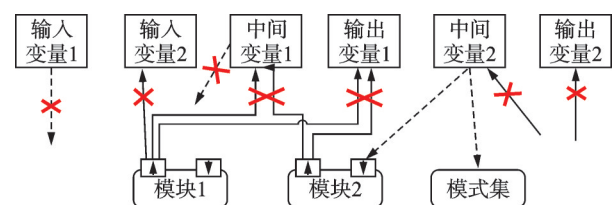


图 3 端口一致性完整性错误示例

Fig.3 Error cases of port consistency and integrity

输出变量 1 违反模块一致性,同时用做模块 1 和模块 2 的输出结果,存在赋值冲突的风险。

输入完整性确保所有条件表、事件表和模式转换表都全面覆盖所有可能的工作模式。这里的输入概念指条件表、事件表中的依赖模式以及模式转换中的源模式。输入完整性可保证在任何工作模式下,变量都有确定取值,模式都有可切换的模式。输入完整性约束描述为

$$\forall v \in V ((\{m | (m, c, a) = cr \wedge cr \in VF_c(v)\} = M_{VM(v)}) \vee (\{m | (m, e, a) = er \wedge er \in VF_e(v)\} = M_{VM(v)}) \wedge \forall mc \in MC (\{m' | (m', e, m) = sm \wedge sm \in SM_{mc}\} = M_{mc})) \quad (3)$$

表 2 违反输入完整性。模式集 mcDecluttere 有 Off 和 On 两个模式,但是模式转换表的源模式只有 Off。 $\{Off\} \neq \{Off, On\}$,这违反了输入完整性。

表 4 opLandingGearIndicatorRemoved 事件表

Table 4 Event table of opLandingGearIndicatorRemoved

| 变量 | 事件行 | | |
|-------------------------------|-------------|-------------------------|------|
| | 依赖模式 | 事件 | 赋值 |
| opLandingGearIndicatorRemoved | mNormal | @T (mcDecluttered = On) | True |
| | mCompressed | @T (mcDecluttered = On) | True |

条件完整性要求将条件表根据条件行所依赖的模式进行分组,分组内的条件通过析取操作后得到一个永真式,确保在所有可能的情况下,相关变量都有明确的取值。这种完整性确保了需求中没有遗漏任何条件,这在处理多个条件组合时尤为关键。条件完整性描述为

$$\forall v \in TV \cup OV (\forall m \in VM(v) (\bigcup_{m_i = m \wedge (m, c_i, a_i) \in VF_c(v)} c_i = True)) \quad (5)$$

条件一致性要求将条件表根据条件行所依赖的模式进行分组,要求组内任意两个赋值不同的条件合取后为永假式,确保变量不会同时被赋予两个不同的值。这种一致性有助于消除需求规范中的条件歧义,防止出现条件相关的二义性问题。条件一致性描述为

$$\forall v \in TV \cup OV \neg \exists (m_i, c_i, a_i) \in VF_c(v), (m_j, c_j, a_j) \in VF_c(v) (m_i = m_j \wedge a_i \neq a_j \wedge (c_i \cap c_j \neq False)) \quad (6)$$

表 3 不满足条件完整性,在特定条件组合下,即

输出完整性确保每个条件表和事件表都涵盖相关变量的所有可能取值。这种完整性约束有助于防止某些部件虽设计有特定的响应动作,但在需求文档中却未被适当使用,造成需求的不完整。输出完整性描述为

$$\forall v \in IV \cup TV \cup OV ((\{a | (m, c, a) = cr \wedge cr \in VF_c(v)\} = VR(v)) \vee (\{a | (m, e, a) = er \wedge er \in VF_e(v)\} = VR(v))) \quad (4)$$

表 4 展示了 EICAS 实例中 1 个违反输出完整性的案例。变量 opLandingGearIndicatorRemoved 的可能取值为 {True, False}, 并且依赖于模式 mcEngineLayout。然而,在所有工作模式下,该变量在可达事件中均未出现取值 False 的情况,这违反了输出完整性的要求。

Modes = on \wedge Var₁ = False \wedge Var₂ = False, Select 的取值无法确定。此外该表也不满足条件一致性,因为在条件 Var₁ = True \wedge Modes = On 成立时, Select 的取值无法确定。

事件一致性要求将事件表根据事件行所依赖的模式进行分组,要求组内任意两个赋值不同的事件合取后为永假式,确保变量不会同时被赋予两个不同的值。这种一致性有助于消除需求规范中的事件歧义,防止出现事件相关的二义性问题。事件一致描述为

$$\forall v \in TV \cup OV (\neg \exists (m_i, e_i, a_i) \in VF_e(v), (m_j, e_j, a_j) \in VF_e(v) (m_i = m_j \wedge a_i \neq a_j \wedge (e_i \cap e_j \neq False))) \quad (7)$$

表 5 事件表不满足事件一致性。在模式 Permitted 下,两个事件行合取的事件表达式 (@T (Block = on) WHEN (Reset = on)) \wedge (@T (Pressure = High) WHEN (Reset = on)) 不是永假式,导致在模式 Permitted 下这一事件发生时 Overriden' 的取值无法确定。

表 5 Overriden' 事件表

Table 5 Event table of Overriden'

| 变量 | 事件行 | | |
|------------|-----------|--|-------|
| | 依赖模式 | 事件 | 赋值 |
| Overriden' | Permitted | @T (Block = On) WHEN (Reset = On) | True |
| | Permitted | @T (Pressure = High) WHEN (Reset = On) | False |

3 航空需求工具平台

航空需求工具平台 ART 是一个面向 DO-178C/DO-333 机载软件适航标准的软件需求分析与验证工具集,它是一个集成平台,包括需求建模、分析、验证以及测试用例自动生成等功能。ART 工具目前仍处于快速迭代中,航空多层次需求工具平台 (Hierarchical avionics requirement tools, HART) 是 ART 的进化版本,它在原有工具的基础上,进一步融入了大规模工程实践的需求。HART 工具的工作界面,主要分为工程树、菜单栏、页面区域和日志栏。本文研究的重点在于需求建模和需求分析。

3.1 HVRM 模型构建

HVRM 模型构建流程如图 4 所示,与 VRM 模型构建不同,增加了模块和端口的构建环节且需求条目规范化过程按模块进行。初始阶段,从领域概念库中提取系统级的常量 CV 和数据类型 T 。随后,根据规范化需求中形成的模块树来构建模块集合 MT 。每个模块的需求被逐一分析,以需求主体变量为索引,创建集合并收集相关条件和事件,进而生成条件表 C 和事件表 T 。在此过程中,记录需求主体变量与模块输出端口的关联,并为输入端口关系 IP 做准备。同时,分析所有原子条件,提取相关变量,并将其与模块的输入端口关联,以确立输出端口关系 OP 。最终,从领域概念库中派生出模式集 MC ,完成 HVRM 模型的构建。

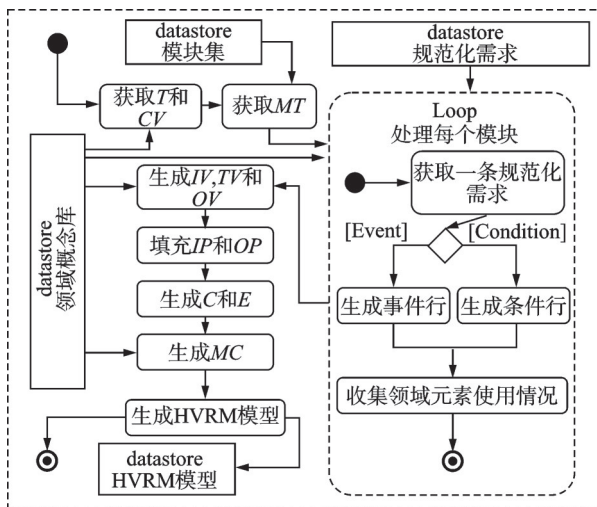


图 4 HVRM 模型构建

Fig.4 Process of generating an HVRM model

3.2 HVRM 模型分析引擎

HART 工具内置了一个模型自动分析引擎。该引擎不仅在现有分析算法^[17,24]的基础上进行了优化和重新编码,还根据实际工程案例对算法执行流程进行了调整。具体而言,引入了端口一致性完整性分析和将层次化模型分解为子模型的环节。

如图 5 所示, HVRM 模型的分析过程遵循一系列严格的步骤。首先进行的是基本语法分析,这是分析流程的基础。只有当基本语法分析未发现错误时,才能继续执行更深层次的分析。端口一致性完整性分析确保模型中的模块能够正确转换为单层子模型,一旦模型违反此约束,分析将被终止。每个子模型的分析首先从输入完整性分析开始,如果发现错误,则会跳过其他步骤,直接进行输出完整性分析。条件一致性完整性分析和事件一致性分析是并行的,它们之间没有先后顺序。模式集作为系统级别的共享属性,其分析过程独立于其他步骤,主要包括输入完整性和事件一致性分析。

对于基于模块构建的 VRM 子模型,分析过程则仅限于基本语法分析和子模型特有的分析活动。

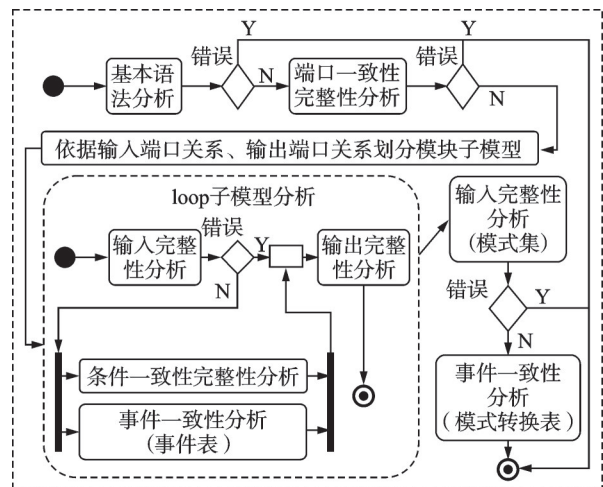


图 5 HVRM 模型分析的活动图

Fig.5 Activities of mode checking based on HVRM

4 飞行导引控制系统的形式化建模

本节详细介绍了一个对自动飞行系统中飞行导引控制系统子系统的功能需求进行建模和分析的案例。

4.1 条目化自然语言需求预处理

无论是从零开始构建工程还是基于已有的领域概念库进行工程构建,都必须在应用 ART 工具前进行需求的预处理。预处理阶段要达成两个目标:(1)划分系统的层次关系;(2)将需求条目进行分类。

模块划分应基于系统工程视角下抽象出的系统功能逻辑结构。工程人员提供的自然语言需求文档通常已经根据这一逻辑结构进行了章节划分,这些章节可以直接定义为模型中的模块。如果文档中没有明确的结构划分,则需要与工程人员沟通。

建模人员需要按模块将待建模的原始需求逐条分类为条件型需求、事件型需求和模式转换型需

求,并排除与建模任务无关的需求。对系统的原始需求进行模块化分类时,必须确保这一过程符合工程人员的预期语义,因此工程人员应参与此过程。表 6 是对 FGCS 实例需求的分类示例。

表 6 条件型需求、事件型需求和模式转换型需求示例
Table 6 Example requirements of conditions, events and mode transitions

| 需求分类 | 需求条目 |
|---------|--|
| 条件型需求 | 当以下条件均满足时,飞行控制模块应判定飞机满足自动驾驶仪/飞行导航仪接通最小构型状态:2 升降舵均有效;2 副翼均有效;2 对多功能传感器有效;方向舵有效;水平安定面有效;4 台作动器控制电子装置均处于飞行控制模块指令模式;1 个发动机有效 |
| 事件型需求 | 当以下条件均满足时,飞行控制模块应接通当前的飞行导航仪模式:自动驾驶仪 Engage 从 False 变为 True;飞行导航仪接通 |
| 模式转换型需求 | 当高度选择模式接通且以下条件满足时,飞行控制模块应从高度选择模式模式态转为飞行航迹角模式:高度旋钮拨动 |

4.2 领域概念库构建

构建领域概念库是一个从原始需求中提炼建模元素的严谨过程。建模人员在提取领域概念时,必须避免主观归类,而应与工程人员反复核实,确保概念的准确性和清晰性。例如,在表 6 所示的条件型需求中,确定“自动驾驶仪/飞行导航仪接通最小构型状态”是作为内部使用的中间变量,还是作为向系统外部传递的输出变量,这一决策需要与工程团队深入沟通才能明确。领域概念库的设计不反映系统功能的具体层级,是一个扁平化的字典库。

图 6 为工作流程包括以下步骤。首先,根据需求文档的语言特征,构建专用于填充需求规范化模

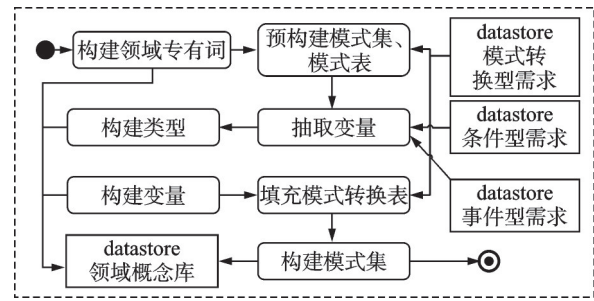


图 6 领域概念库构建

Fig.6 Construction of domain concept library

板的领域特定术语。接着,从模式转换型需求中提取模式集信息,并初步构建 1 个不包含模式转换的模式集。然后,从所有需求中提取实体信息,并汇总每个实体的取值、精度等属性。基于这些汇总信息,进一步定义领域数据类型。一旦所有构建变量所需的属性都已确定,便可以按照与工程人员协商后的类别,构建变量,并形成领域元素集。最终,利用这些变量填充模式转换表,完成模式集的构建。FGCS 需求实例中常见的领域数据类型如表 7 所示。其中 NCD(No computed data)表示无计算数据。部分变量如表 8 所示。

表 7 领域数据类型

Table 7 Domain data types

| 领域数据类型 | 真实类型 | 值域 | 精度 |
|------------------------|------------|---------------------|-----|
| Boolean | Boolean | True, False | — |
| EulerAngle | Double | -180.0, 180.0 | 0.1 |
| Angle | Double | 0.0, 360.0 | 0.1 |
| Valid | Enumerated | Valid, Invalid | — |
| Calculate_Value_Status | Enumerated | Valid, Invalid, NCD | — |

表 8 领域元素集中的部分变量

Table 8 Variables in the domain item set

| 变量名 | 领域数据类型 | 类别 | 初始值 | 关联模式集 |
|--------------------------------|------------|------|---------|-------|
| iv_Roll_Angle_Value_Valid | Valid | 输入变量 | Invalid | 无 |
| iv_IR_Roll_Angle_Value | EulerAngle | 输入变量 | 0.0 | 无 |
| iv_Horizontal_Stabilizer_Valid | Valid | 输入变量 | Invalid | 无 |
| tv_Min_CONF_Of_APFD_Enable | Boolean | 中间变量 | False | 无 |
| tv_When_ASEL_Armed | Boolean | 中间变量 | False | 无 |
| tv_When_FPA_Engage | Boolean | 中间变量 | False | 无 |
| ov_Is_FPA_Engage | Boolean | 输出变量 | False | 无 |
| ov_Is_ASEL_Armed | Boolean | 输出变量 | False | 无 |

4.3 需求规范化

在需求规范化阶段,建模人员负责对所有条件型和事件型原始需求条目进行逐一规范化处理。每项原始需求根据其类别,选取相应的条件型或事件型模板,并填充必要要素以形成规范化表示。原始需求与规范化需求之间存在一对多的关系,意味着单一原始需求可能对应多个规范化需求,且这些

规范化需求应采用统一的模板。需求规范化的具体活动流程见图 7。

首先,将需求条目导入 HART 工具,然后,构建模块集并将需求分配至模块中。最终,对每个需求条目进行循环处理,通过填充选定的规范化模板来生成对应的规范化需求。

表格化表达在数学逻辑的精确性上不输于传

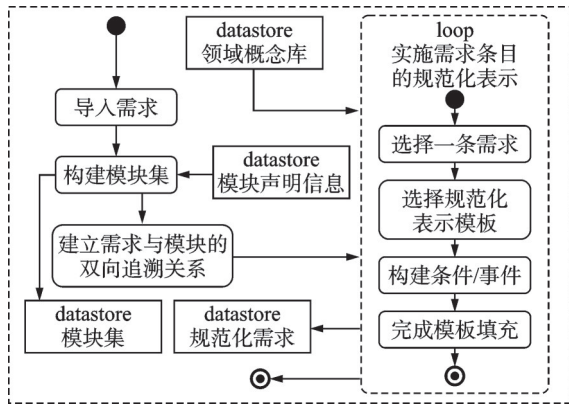


图 7 需求规范化活动图

Fig.7 Normalization of requirements

统符号,同时在可读性和易用性方面表现更佳。鉴于表格是工程人员最常接触的文档类型,HART 工具采用了 RSML^[25] 的 AND-OR 表来构建 HVRM 模型中的条件与事件,并通过自动转换机

制,将这些表格转化为对应的逻辑表达式,以便于生成标准化的工程文档。

以表 6 中条件型需求为例,阐述 HART 中进行需求规范化的主要操作。对于条件型需求,建模人员选中需求后使用“通用的条件型需求规范化”规范化模板进行规范化处理。接着构建 AND-OR 表表达式。模板格式为:当满足条件<需求前提><飞机/系统/设备/实体>应该能够<功能><对象/取值>。保存后 AND-OR 表会自动转换为逻辑表达式插入模板中并生成原始需求对应的一条规范需求。

表 6 中的条件型原始需求和事件型原始需求经过需求规范化之后对应的规范需求如表 9 所示。

HART 工具具备自动构建 HVRM 模型的功能,能够从规范需求和建模元素中提取模型关键信息,生成的模型可导出为 XML 文件。

表 9 规范需求示例

Table 9 Examples of normalized requirements

| 原始需求条目 | 规范化模板 | 规范需求 |
|---|-------|--|
| 当以下条件均满足时,飞行控制模块的“AFCS 接通断开逻辑”功能应判定飞机满足自动驾驶/飞行导航仪接通最小构型状态:2 升降舵均有效;2 副翼均有效;2 对多功能传感器有效;方向舵有效;水平安定面有效;4 台作动器控制电子装置均处于飞行控制模块指令模式;1 个发动机有效 | 通用条件 | 当满足以下条件: tv_Min_CONF_Of_APFD_Enable 应能够设置为 True: (iv_Elevator_Valid = 2 & iv_Flap_Valid = 2 & iv_MFS_Valid = 2 & iv_Rudder_Valid = Valid & iv_Horizontal_Stabilizer_Valid = Valid & iv_ACES_Mode_In_FCM_Command = 4 & iv_Engine_Valid ≥ 1) |
| 当以下条件均满足时,飞行控制模块应接通当前的飞行导航仪模式:自动驾驶仪 Engage 从 False 变为 True;飞行导航仪接通 | 通用事件 | 当满足以下事件: tv_When_Modes_On 应能够设置为 True: {@T((mcAP = mEngage & mcFD = mEngage)) (mcAP = mEngage & mcFD = mStandby))} |

5 实例模型与模型分析结果

在对实例建模过程中,从 3 个顶层视角观察系统,分别是飞行导引仪的工作视角、自动驾驶仪的

工作视角、飞行模态的视角。在飞行模态的视角下,又可进一步在垂直模态接通状态和水平模态接通状态这样更低的视角下进行分析。表 10 为不同视角下建模的 6 个模式集。

表 10 不同视角下建模的 6 个模式集

Table 10 Six mode classes for modeling from different perspectives

| 模式集 | 工作模式 | 父模式 |
|-----------------|---|----------------------|
| mcAP | mDisengage, mAvailable, mEngage | — |
| mcFD | mStanby, mAvailable, mEngage, mDisengage | — |
| mcModes | mOn, mOff | — |
| mcVertical_Mode | mVStandby, mFPA, mASEL, mALT, mVS, mFLC, mGS | mcModes/mOn |
| mcLateral_Mode | mLStandby, mROLL, mLNAV, mLOC, mBC, mHDG_TRK_SEL | mcModes/mOn |
| mcRoll_Mode | mUndefined, mRoll_Hold, mWings_Level, mHDG_TRK_Hold | mcLateral_Mode/mROLL |

表 11 展示了实例建模的统计结果,从需求条目、领域元素和模型规模 3 个维度进行评估。预处理阶段从 174 条 FGCS 需求中筛选出 101 条相关需求,划分为 19 个逻辑模块。需求分类包括 12 个条件型、24 个事件型和 65 个模式转换型。建模过程

中识别出 6 个模式集、26 个工作模式和 86 个模式转换事件。共提取 145 个实体作为变量,包括 93 个输入变量、32 个中间变量、20 个输出变量和 16 个数据类型。规范化需求流程产出了 135 条规范化需求,分为 33 个条件型和 102 个事件型需求,并构

建了 25 个条件表和 29 个事件表。

表 11 FGCS 实例建模规模

Table 11 FGCS instance modeling scale

| 统计项目 | 详细分类 | 数量 |
|----------|---------|-----|
| 需求条目规模 | 原始需求条目 | 174 |
| | 可建模条目 | 101 |
| | 条件型需求 | 12 |
| | 事件型需求 | 24 |
| | 模式转换型需求 | 65 |
| | 规范化需求 | 145 |
| 领域建模元素规模 | 模式集 | 6 |
| | 工作模式 | 26 |
| | 输入变量 | 93 |
| | 中间变量 | 32 |
| | 输出变量 | 20 |
| | 领域数据类型 | 16 |
| 模型规模 | 模块 | 19 |
| | 条件 | 33 |
| | 事件 | 102 |
| | 模式转换事件 | 86 |

HART 工具利用模型分析引擎执行 HVRM 模型的一致性完整性分析,并自动生成报告,以协助工程师识别和定位模型与需求的潜在错误。

表 12 将模型分析结果进行汇总,在 6 个模块和 1 个模式集中有 1 个输入完整性错误条目,5 个条件完整性错误条目,1 个事件一致性错误条目,12 个输出完整性错误条目。

表 12 FGCS 需求模型分析结果统计

Table 12 Analysis results of FGCS model

| 输入完整性 | 条件一致性 | 条件完整性 | 事件一致性 | 输出完整性 |
|-------|-------|-------|-------|-------|
| 1 | 0 | 5 | 1 | 12 |

模式集 mcModes 违反了输入完整性,缺少离开模式 mOn 的转换。需求分析显示,仅 1 条需求描述了模态接通,缺失了断开的描述。

FGCS 模块存在 5 个条件完整性和 7 个输出完整性错误,其中 5 个错误重合。另外 2 个输出完整性错误可定位到 tv_When_Modes_On 和 tv_When_FD_Engage 所关联的事件表。需求中缺少工作状态断开的描述可导致完整性问题。例如表 6 中的条件型需求未指定何时取消最小构型状态,建议增加“否则判定不满足”来明确。高度选择、航向道进近和背航道进近模块的完整性错误也因需求未说明模态预位的取消条件。需求未明确状态间的互斥关系也会导致错误,如飞行导航仪的 Engage、Available、Standby 状态。

水平导航(Lateral navigation, LNAV)中事件一致性错误所关联的是表 13 所示的需求。需求中

对预位设置为真时的飞行管理系统(Flight management system, FMS)状态有约束,但解除预位的事件未明确,且模态预位与接通无明确互斥关系,导致实体取值不确定。

表 13 违反事件一致性的需求

Table 13 Requirement containing event consistency error

| 原始需求 |
|--|
| <p>当飞行模式控制面板上的 LNAV 按钮由断开变为接通时,飞行控制模块应作出如下反应:</p> <ol style="list-style-type: none"> 若 LNAV 模态未预位或接通,且满足下列所有条件时,预位 LNAV 模态: 自动着陆未被接通。 (1) 自动飞行控制系统检测到有唯一有效的主 FMS; (2) FMS 的滚转指令有效或 NCD。 若 LNAV 模态未预位或接通但自动着陆被接通时,无任何反应。 若 LNAV 已预位时,解除预位 LNAV 模态。 若 LNAV 已激活时,无任何反应。 |

6 结 论

本文提出了 HVRM 模型,为机载软件领域提供了一种结合系统工程与形式化方法的途径。HVRM 通过模块化和端口概念实现需求的层次化表达,并采用表格形式明确条件、事件和模式转换。本文还基于一致性完整性原则,扩展了 HVRM 模型的一致性完整性分析方法,并通过 HART 工具链实现需求建模、分析和验证的无缝对接。HART 工具的领域概念库功能,有效降低了从自然语言需求中提取建模元素的成本,且基于模块的建模和分析方式适应了计算资源有限的工程实际,降低了分析的计算成本。本文在 HART 平台上对飞行导引控制系统进行了完整的建模与分析,展示了形式化方法在工程实践中的应用潜力。

未来,将继续深化工程应用,秉承“从工程中来,到工程中去”的原则,从实际问题出发,不断优化 VRM 模型和 ART 工具。计划引入时序语义,增强模型对多时序状态的支持,并同步更新相关算法。同时,将进一步提炼自动飞行领域的需求描述语言结构,发展面向该领域的规范化模板,以提升需求建模的效率和准确性,期望为机载软件的形式化建模和分析提供更加成熟、实用的解决方案。

参考文献:

- [1] LEVESON N G, THOMAS J P. Certification of safety-critical systems[J]. Communications of the ACM, 2023, 66(10): 22-26.
- [2] Special Committee 205. Software considerations in airborne systems and equipment certification: DO-178C—2011[S]. Washington: Radio Technical Commission for Aeronautics, 2011.
- [3] LEMPIA D L, MILLER S P. Requirements engineering management findings report: DOT/FAA/AR-08/34[R]. Washington: FAA, 2009.

- [4] Federal Aviation Administration. Advanced avionics handbook[M]. South Carolina: CreateSpace Independent Publishing Platform, 2023.
- [5] S-18 Aircraft and Sys Dev and Safety Assessment Committee. Guidelines for development of civil aircraft and systems: ARP-4754B—2023[S]. Warrendale: SAE International, 2023.
- [6] ROGGENBACH M, SCHLINGLOFF B H, SCHNEIDER G. Formal methods for software engineering: Languages, methods, application domains[M]. Cham: Springer International Publishing, 2022.
- [7] MERCER E, SLIND K, AMUNDSON I, et al. Synthesizing verified components for cyber assured systems engineering[J]. Software and Systems Modeling, 2023, 22(5): 1451-1471.
- [8] ELAKRAMINE F, IBNE HOSSAIN N U, JARADAT R, et al. The application of system modelling language (SysML) in an aviation structure and maintenance system[C]//Proceedings of ASEM 41st International Annual Conference. Huntsville: American Society for Engineering Management, 2020.
- [9] 徐恒, 黄志球, 胡军, 等. 基于 MTRDL 的自动飞行系统模式需求建模与验证方法[J]. 软件学报, 2024, 35(9): 4265-4286.
- XU Heng, HUANG Zhiqiu, HU Jun, et al. Requirement modeling and verification for automatic flight system modes based on MTRDL[J]. Journal of Software, 2024, 35(9): 4265-4286.
- [10] COOK S, BOCK C, RIVETT P, et al. OMG unified modeling language (OMG UML): Formal/17-12-05—2017[S]. [S.l.]: Object Management Group, 2017.
- [11] BRON J Y. System requirements engineering: A SysML supported requirements engineering method[M]. Hoboken: ISTE Ltd/John Wiley and Sons Inc, 2020.
- [12] AS-2C Architecture Analysis and Design Language. Architecture analysis & design language (AADL): AS5506D—2022[S]. [S.l.]: SAE International, 2022.
- [13] MOON J H, SHIN S S, CHOI S K, et al. Development of UAV flight control software using model-based development (MBD) technology[J]. Journal of the Korean Society for Aeronautical & Space Sciences, 2010, 38(12): 1217-1222.
- [14] COUADAU F, DERVAUX N, FAYOLLAS C, et al. Automated testing of ARINC 661 cockpit display systems: Factors to accelerate DO-178C certification[C]//Proceedings of 2023 IEEE/AIAA 42nd Digital Avionics Systems Conference (DASC). [S.l.]: IEEE, 2023.
- [15] 胡建成, 胡军, 汪文轩, 等. 一种面向领域自然语言需求的形式化需求模型生成方法研究[J]. 小型微型计算机系统, 2021, 42(8): 1639-1648.
- HU Jiancheng, HU Jun, WANG Wenxuan, et al. Constructing formal specification models from domain specific natural language requirements[J]. Journal of Chinese Computer Systems, 2021, 42(8): 1639-1648.
- [16] 展万里. 基于形式化模型的需求仿真与架构安全性分析方法研究[D]. 南京: 南京航空航天大学, 2022.
- ZHAN Wanli. Based on the requirement of formalization model simulation and structure analysis method study[D]. Nanjing: Nanjing University of Aeronautics & Astronautics, 2022.
- [17] 胡军, 吕佳润, 王立松, 等. 一个机载软件需求形式化建模与分析实例研究[J]. 软件学报, 2022, 33(5): 1652-1673.
- HU Jun, LYU Jiarun, WANG Lisong, et al. A case study on natural language requirement based Formal modelling and analysis for an airborne display control software system[J]. Journal of Software, 2022, 33(5): 1652-1673.
- [18] 李俊安, 胡军, 王立松, 等. 自动飞行模式转换逻辑的形式化建模与验证[J]. 南京航空航天大学学报, 2023, 55(5): 768-779.
- LI Junan, HU Jun, WANG Lisong, et al. Formal modeling and verification of automatic flight mode transition logic[J]. Journal of Nanjing University of Aeronautics & Astronautics, 2023, 55(5): 768-779.
- [19] SADRAEY M. Automatic flight control systems[M]. San Rafael: Morgan & Claypool Publishers, 2020.
- [20] 王飞. 大型客机飞行导引控制系统工作模式仿真研究[D]. 天津: 中国民航大学, 2021.
- WANG Fei. Simulation research on operating mode of flight guidance control system for large passenger aircraft[D]. Tianjin: Civil Aviation University of China, 2020.
- [21] MILLER S P, TRIBBLE A C. Extending the four-variable model to bridge the system-software gap [C]//Proceedings of the 20th Digital Avionics Systems Conference (No. 01CH37219). Daytona Beach, FL, USA: IEEE, 2001.
- [22] 石梦焯. 基于形式化模型的系统需求与设计安全性分析方法研究[D]. 南京: 南京航空航天大学, 2020.
- SHI Mengye. Research on system requirements and design safety analysis method based on formal model [D]. Nanjing: Nanjing University of Aeronautics and Astronautics, 2020.
- [23] MILLER S P, TRIBBLE A C, CARLSON T M, et al. Flight guidance system requirements specification: NASA/CR—2003-212426[R]. Washington: NASA, 2003.
- [24] 吕佳润. VRM 需求模型的语义分析方法研究[D]. 南京: 南京航空航天大学, 2023.
- LYU Jiarun. Research on semantic analysis method of VRM requirement model[D]. Nanjing: Nanjing University of Aeronautics and Astronautics, 2023.
- [25] LEVESON N G, HEIMDAHL M P E, HILDRETH H, et al. Requirements specification for process-control systems[J]. IEEE Transactions on Software Engineering, 1994, 20(9): 684-707.